

振動時の間げき水压遷移に関する研究

京都大学工学部 王真 石原藤次郎
京都大学工学部 王真 ○尾島 勝

1. 本研究の目的

飽和砂層の振動性状の解明を目的として、従来より多く多くの研究がなされてきた。しかし近年の振動現象の解明が大きく進歩した。本研究は、これら、砂層の流動遷移過程における間げき水压の動的性状を明らかにすることを目的としている。連続的応振動によつて飽和砂層中に誘起され、その振動による構造物の運動のひきこみ作用による間げき水压を、理論的に解析し、その性状を利用して考察を加えた。

2. 理論的展開¹⁾

振動によつて、間げき水に付加される運動的間げき水压と動的過剰間げき水压と等しくなる。前者は、間げき水の慣性力による水压である。一方、通常、その大きさは振動加速度に比例的である。一方、後者では、砂層に加わる全荷重の増分がたゞだらに有効底力とはうなづく場合、それはわり、間げき水が間げき水の脱出によってもたらされた運動的間げき水压である。したがつて、飽和砂層の振動を復元の場合、間げき水には、通常、間げき水の付加される運動的間げき水压が復元される付加されるものである。ここで、この前者は、それを抵抗する挙動を示すものと仮定した。

砂層の流動現象は、作用する振動力、砂層の物理的性質、砂層と含む土の拘束条件などの諸因子の関連によつて異なる。したがつて、内部砂層が完全流動を起こすための条件、内部の部分流動の流動化率を明らかにすることは、非常にむずかしく、今後の完全流動の場合について解析する。

図-1に示した有限の飽和砂層を解析のモデルとした。振動外力は、
 $(\frac{d\phi}{dt^2}) \cdot \cos \omega t$ である。座標系は、図のようになり次元の運動座標系で $y=0$ を表す。間げき水压を σ_1 、動的過剰間げき水压を σ_2 で表わし、間げき水の x 、 y 方向の速度を u 、 v で表すとき、間げき水の運動の式は、

$$\frac{\partial u}{\partial t} = -\frac{1}{\rho} \frac{\partial \sigma_1}{\partial x} + \nu \nabla^2 u, \quad \frac{\partial v}{\partial t} = -\frac{1}{\rho} \frac{\partial}{\partial y} (\sigma_1 + \sigma_2) + \nu \nabla^2 v$$

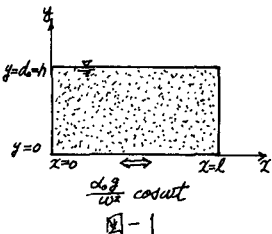


図-1

表わせる。式中の粘性抵抗項 $\nu \nabla^2 u$ 、 $\nu \nabla^2 v$ に対し、通常直線流で成立する Darcy 法を便宜的に使用し、 $\nu \nabla^2 u = -(\lambda \phi / k(x)) \cdot u_x$ 、 $\nu \nabla^2 v = -(\lambda \phi / k(y)) \cdot v_y$ とする。入は間げき水、 k_x 、 k_y は透水係数であり、これは、振動の継続時間とともに変化するものと考えられる。 u_x 、 v は間げき水の間げき水に対する相対速度である、 $U = u_x$ 、 $V = v + \int_{y=0}^{y=1} \frac{\partial \sigma_1}{\partial x} dy$ と表わすことができる。ここで、ひびきの関係に立ち込まられた積分は、砂層 y 方向のひびき吸縮率 $\lambda \phi$ と仮定して場合の y における砂層のひびき速度を表すものである。 $\lambda \phi$ の関係を導入 V 、 $k_x(x) = k_y(x) = k(x)$ とすれば、間げき水の運動の式はつきのようになる。

$$\frac{\partial u}{\partial t} = -\frac{1}{\rho} \frac{\partial \sigma_1}{\partial x} - \frac{\lambda \phi g}{k(x)} u, \quad \frac{\partial v}{\partial t} = -\frac{1}{\rho} \frac{\partial \sigma_1}{\partial y} - \frac{1}{\rho} \frac{\partial \sigma_2}{\partial y} - \frac{\lambda \phi g}{k(x)} (V - \int_{y=0}^{y=1} \frac{\partial \sigma_1}{\partial x} dy) \quad (1)$$

連続の式は、微小体($dx dy$)内の質量保存則により、つぎのようにな表わされる。

$$-\left\{ \frac{\partial(\rho u)}{\partial x} + \frac{\partial(\rho v)}{\partial y} \right\} dx dy = \frac{\partial}{\partial t} (\rho \lambda dx dy)$$

入、出力の流下とともに変化する。また、水の圧縮性を考慮すれば、密度も時間的に変化するが、それを計算するには ρ を用いる。したがって、連続式の右边は、 ρ の子孫に着目する。

$$\frac{\partial}{\partial t} (\rho \lambda dx dy) = \left\{ \lambda \frac{\partial \rho}{\partial t} + \rho \frac{\partial \lambda}{\partial t} + \rho \lambda \frac{\partial(\rho u)}{\partial x} \right\} dx dy$$

したがって、 $\partial \rho / \partial t = \rho \beta \partial \sigma / \partial t$, $\partial(\rho u) / \partial x = \alpha \partial \sigma / \partial t$, $\partial \lambda / \partial t = \alpha(1-\lambda) \partial \sigma / \partial t$ の関係を代入すると、連続式として次式を得る。

$$\frac{\partial u}{\partial x} + \frac{\partial v}{\partial y} = - \left(\beta \lambda \frac{\partial \sigma}{\partial t} + \alpha \frac{\partial \sigma}{\partial t} \right) \quad (2)$$

$\therefore K, \alpha, \beta$ は、それぞれ砂層の構造常数の圧縮率、水の圧縮率とよばれる定数である。

式(1), (2)より σ_1, σ_2 に関する基礎式として、次式を得る。

$$\frac{\partial^2 \sigma_1}{\partial x^2} + \frac{\partial^2 \sigma_1}{\partial y^2} - \frac{\lambda_0^2}{C^2} \frac{\partial^2 \sigma_1}{\partial t^2} - \frac{1}{C^2} \frac{\lambda_0^2 g}{R_0} \frac{\partial \sigma_1}{\partial t} = 0 \quad (3) \quad \frac{\partial^2 \sigma_2}{\partial y^2} - \frac{1}{C^2} \frac{\alpha}{\beta} \frac{\partial^2 \sigma_2}{\partial t^2} - \frac{2}{C^2} \frac{\alpha}{\beta} \frac{\lambda_0 g}{R_0} \frac{\partial \sigma_2}{\partial t} = 0 \quad (4)$$

$\therefore K, C = \rho_0 \beta \approx \rho \beta$: 水中音速, $\lambda_0 \approx \lambda$; 初期間音速, $R_0 \approx R$; 初期透水係数である。

σ_1 および σ_2 の境界条件および初期条件は、次式で与えられる。

$$\left(\frac{\partial \sigma_1}{\partial x} \right)_{x=0} = \alpha_0 g f_0 \cos \omega t, \quad \left(\frac{\partial \sigma_1}{\partial x} \right)_{x=l} = \alpha_0 g f_0 \cos \omega t, \quad \left(\frac{\partial \sigma_1}{\partial y} \right)_{y=0} = 0, \quad \left(\sigma_1 \right)_{y=h} = 0, \quad \left(\sigma_1 \right)_{t=0} = 0, \quad \left(\frac{\partial \sigma_1}{\partial t} \right)_{t=0} = 0 \quad (5)$$

σ_2 および σ_1 の境界条件および初期条件は、次式で与えられる。

$$\left(\frac{\partial \sigma_2}{\partial y} \right)_{y=0} = 0, \quad \left(\sigma_2 \right)_{y=d_0} = 0, \quad \left(\sigma_2 \right)_{t=0} = \delta'(d_0 - y), \quad \left(\frac{\partial \sigma_2}{\partial t} \right)_{t=0} = 0 \quad (6)$$

(5)の条件のもとで式(3)を解けば、つぎの解を得る。

$$\sigma_1 = 4 \alpha_0 g f_0 \sum_{m=0}^{\infty} \frac{(-1)^m}{(2m+1)\pi} P_m \left[\frac{\cosh S_m x - \cosh S_m (l-x)}{S_m \sinh S_m l} e^{i\omega t} \right] \cos \frac{(2m+1)\pi}{2h} y + \frac{8 \alpha_0 g f_0}{l} e^{-\frac{i}{2} \omega t} \sum_{m=0, n=0}^{\infty} \frac{(-1)^m}{(2m+1)\pi}$$

$$* \frac{1-(-1)^m}{P_m^2 + 4 Q_m^2 S_m^2} \left[P_{mn} \cos Q_{mn} t + \left\{ \frac{1}{2} \ln \frac{P_{mn}}{Q_{mn}} + 2w \frac{Q_{mn}}{P_{mn}} \right\} \sin Q_{mn} \right] \cos \frac{n\pi}{l} x \cdot \cos \frac{(2m+1)\pi}{2h} y \quad (7)$$

$$\therefore K, \quad b_0 = \lambda_0 g / R_0, \quad S_m = \delta_m + i Q_m, \quad P_{mn} = \delta_m^2 - Q_m^2 + (n\pi/l)^2, \quad Q_{mn} = \sqrt{\{(2m+1)\pi/2h\}^2 + (n\pi/l)^2} \quad (C^2/4)^{1/2}$$

$$\delta_m = \sqrt{\frac{1}{2} \left[\left\{ \left(\frac{(2m+1)\pi}{2h} \right)^2 - \lambda_0 \left(\frac{\omega}{C} \right)^2 \right\} + \left[\left\{ \left(\frac{(2m+1)\pi}{2h} \right)^2 - \lambda_0 \left(\frac{\omega}{C} \right)^2 \right\}^2 + \left(\frac{b_0 \omega}{C^2} \right)^2 \right]^{1/2} \right]}$$

$$f_0 = \sqrt{\frac{1}{2} \left[- \left\{ \left(\frac{(2m+1)\pi}{2h} \right)^2 - \lambda_0 \left(\frac{\omega}{C} \right)^2 \right\} + \left[\left\{ \left(\frac{(2m+1)\pi}{2h} \right)^2 - \lambda_0 \left(\frac{\omega}{C} \right)^2 \right\}^2 + \left(\frac{b_0 \omega}{C^2} \right)^2 \right]^{1/2} \right]}$$

である。符号Rは実数部のみをとる $= \pm$ を意味する。式(7)で与えられる解は、振動初期における過渡解であって、式(7)の第1項が走廓波を、第2項が非走廊波を表わしている。したがって、壁面($x=0$)に作用する走廊波の動水圧は、次式で与えられる。

$$(G_1) = 4\alpha g P \sum_{m=0}^{\infty} (-1)^m \frac{1}{(2m+1)\pi} \frac{1}{\sinh \theta_m + \cosh \theta_m} \cos \frac{(2m+1)\pi}{2h} y \left\{ (\sinh \theta_m - \cosh \theta_m) \sin wt - (\sinh \theta_m + \cosh \theta_m) \cos wt \right\} \quad (8)$$

(6) の条件のもと式(6)を解けば、 ω の解を得る。

$$\begin{aligned} G_2 &= 4\alpha g P \sum_{m=0}^{\infty} \frac{1}{(2m+1)\pi} \cos \frac{(2m+1)\pi}{2h} y \left[\frac{1+\theta_m}{\theta_m} e^{-\theta_m(1-\theta_m)t} - \frac{1-\theta_m}{\theta_m} e^{-\theta_m(1+\theta_m)t} \right] \\ &\quad + 4\alpha g P \sum_{m=0}^{\infty} \frac{1}{(2m+1)\pi} \cos \frac{(2m+1)\pi}{2h} y \cdot e^{-\theta_m t} \left[\frac{1}{\theta_m} \sin \theta_m \sinh \theta_m t + \cos \theta_m \sinh \theta_m t \right] \end{aligned} \quad (9)$$

$$=: 1, \quad \theta_m = \left[1 - \left(\frac{(2m+1)\pi c}{2d_0 \cdot \theta_0} \right)^2 \right]^{\frac{1}{2}}, \quad \theta'_m = \left[\left(\frac{(2m+1)\pi c}{2d_0 \cdot \theta_0} \right)^2 - 1 \right]^{\frac{1}{2}}, \quad \alpha_0 = \alpha/\beta \quad \text{である。}$$

3. 跳動水压・考察

式(7), (8), (9)で与えられる解は級数解であるが、その収束性はよく10項程度で十分である。

式(8)で与えられた周期運動水压は、 θ_m , θ'_m の値が仮定・大系長に導いた式と若干異なる。 $\therefore n=2$ は、着者等は砂の運動水压下での過程を解析。対象としたところである。

いま、 $\lambda_0=1$, $R=\infty$ とする場合について考えよう。 $\therefore n=2$, $\theta_m = \sqrt{(2m+1)\pi/2h} - (\omega/c)^2$, $d_m=0$ とするから、式(8)は

$$(G_1) = 4\alpha g P \sum_{m=0}^{\infty} \frac{(-1)^m}{(2m+1)\pi} \frac{1-\cosh \theta_m}{\sinh \theta_m} \cos \frac{(2m+1)\pi}{2h} y \cdot \cos wt$$

となる。 \therefore この式は、Werner & Sundquist が矩形水槽に作用する運動水压として与えた式と一致する。 \therefore あらためて θ_m , θ'_m について検討する。 \therefore 本の式中の $\lambda_0(\omega/c)^2$ の値は、振動周期(T)が非常に短い場合、あるいは水深(h)が非常に大きい場合には限り、 $((2m+1)\pi/2h)^2$ にくらべて無視できる。したがって、普通の場合には、 θ_m , θ'_m の値は $(2m+1)\pi/2h$ と $(60\omega/c)^2$ の大きさによつて左右され、この値に比例する影響を及ぼすものは透水係数であることがわかった。すなわち、透水係数がある程度より大きければれば、 $(60\omega/c)^2$ の値は無視でき、周期運動水压の性状は、砂の存在を考慮しない純水の運動水压性状とほぼ同じであると考えてよい。しかるに、透水係数が小さい場合には、 $(60\omega/c)^2$ の値が影響するため、周期運動水压と振動力との間に位相のずれが生じ、周期運動水压の分布性状も、飽和砂の性質(透水係数、周波数等)ばかりに振動力の粗度によつて異なつてくる。 \therefore この点に用ひた詳細な検討は、つきの数値計算例で行はれた。

動的過剰周期運動水压を与える式(9)は、2つの級数部分からなり、その一般的な性状を見立ためにいく。正整数 m は $(2m+1)\pi/2d_0 < \sqrt{\theta_0 \cdot \theta_0/c}$ を満足する最大の m である。この値は、 d_0 , θ_0 , c の値によつて異なる。 \therefore ここで、 α は砂の透水係数によつて、2次元の透水係数である。中古骨材の場合には $0.9 \times 10^{-5} \text{ cm}^3/\text{sec}$ である。また、 P は $4.9 \times 10^8 \text{ cm}^3/\text{sec}$ であるから、 α_0 は 0.182×10^8 は定数と考えてよかつ。したがつて、通常は式(9)の第1項のみによる動的過剰周期運動水压を考慮すればよい。その性状に関する詳細な検討は、つきの数値計算例で行はれた。

4. 数値計算例

周期運動水压に関しては、飽和砂層の厚さ(h)と表さ(ℓ)は $(10^m, 10^m)$, $(10^m, 5^m)$, $(5^m, 10^m)$, $(5^m, 5^m)$ の場合に対して、振動周期は地盤の卓越周期を考慮して 0.2 , 0.3 , 0.4 sec を与え、初期周期を零とし、初期透水係数をパラメータとして、式(8)によりその最大値の計算を行はれた。

これらの結果から、この分布性状について、 λ_0 の値を用いて次に示す量を表すとすれば、 $2.0, 1.0, 0.5$ であるが、この値が大きいほど、崩壊の大きさが大きくなることが認められる。また、崩壊の動水圧性状は、これの計算例によつても知る値が 10^{-2} cm/sec より大きくなると、純水の動水圧性状には差異なくなり、 10^2 cm/sec よりも小さくなると、これは、崩壊の粗度、振動周期の粗度によるもので、この性状に多少影響する。

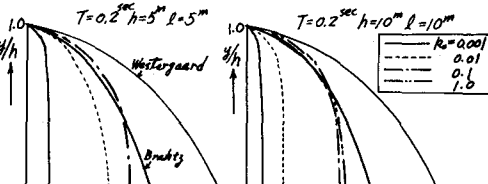


図-2 $T=0.2 \text{ sec}, h=5 \text{ m}, l=5 \text{ m}$
 $T=0.2 \text{ sec}, h=10 \text{ m}, l=10 \text{ m}$

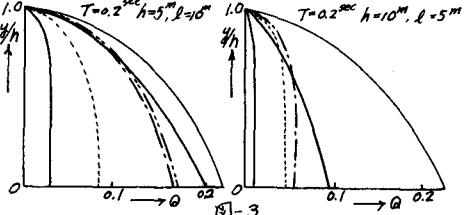


図-3 $T=0.2 \text{ sec}, h=5 \text{ m}, l=5 \text{ m}$
 $T=0.2 \text{ sec}, h=10 \text{ m}, l=10 \text{ m}$

動的過剰崩壊水圧に関しては、砂層厚さ 5 m の場合に対する計算を行ふ。図-4は、時間とバクトーラとして動的過剰崩壊水圧の変動を示したものである。この図から、減衰時間は、透水係数が大きくなるほど、急激に短くなることがわかる。崩壊率を $0.450, 0.430$ と与えてその粗度による影響についても検討したが、ほとんど影響しないといつてもよからう。

図-5は、深さをバクトーラとして、過剰水圧の減衰の様様を示したものである。透水係数が 1 cm/sec 程度よりも大きくなるれば、非常に短時間で動的過剰水圧は減衰し、砂層は安定化する。しかしながら、透水係数が小さくなるにしたがって、過剰水圧の減衰時間は長くなり、それだけ砂層の安定化がおくれる。また、深さ方向の減衰性状をみれば、上層ほど流動化しての時間が長い、その間は、過剰水圧はほぼ一定であり、砂層の流下安定化が下層部から完了していくという現象を説明できる。

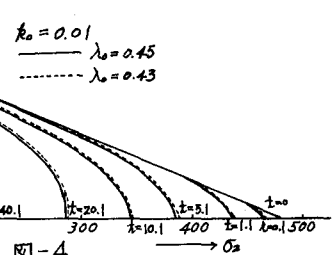
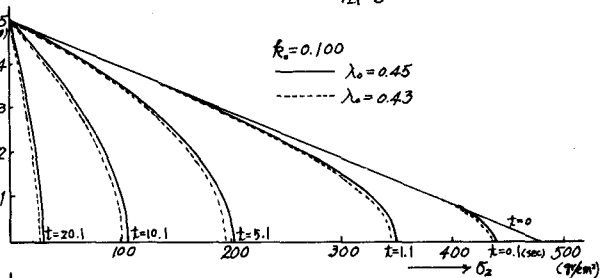


図-4

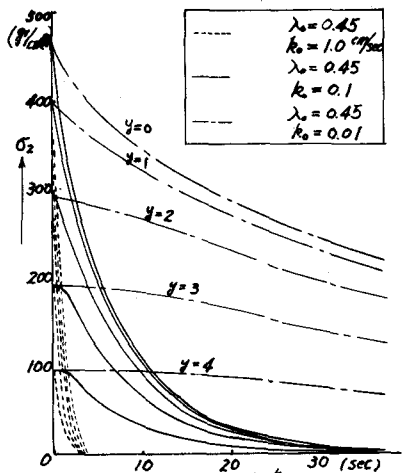


図-5

5. 結語

本研究は、砂層が完全流動化する十分な振動力が作用するとき假定して、砂層が完全流動化する過程について解析を行つた。しかしながら、崩壊的性質から計算結果は、完全流動化を起すまでの条件、部分流動の現象を明らかにすることができ、今後、このような目的で研究を進めていきたい。

参考文献: 1)石井(篠原)見島耕田: 振動時の崩壊水圧性状の実験的研究、土木学会用文部省第二次防護工事調査委員会報告書、1968.

2)松尾・大曾: 壓力式岸壁の崩壊性質についての一考察、土木学会論文集、第70号、1960。